

Monitoring respiratoire: Quels outils en pratique clinique?



David THEVOZ
Physiothérapie cardio-respiratoire
CHUV Lausanne Suisse



1^{re} journée francophone en kinésithérapie
respiratoire, 28 mai 2016, Paris



Définition

Monitoring

Cette page d'homonymie répertorie les différents sujets et articles partageant un même nom.

Le **monitoring** est l'anglicisme du terme **surveillance** et définit la mesure d'une activité (humaine, économique, électrique, d'un organe, etc.).

- En médecine, le monitoring ou le monotorage, désigne la surveillance de patients à l'aide d'appareils (appelés moniteurs) fonctionnant de manière automatique.

- Surveillance médicale en continu ou à intervalles rapprochés, effectuée par mesure de paramètres ou par enregistrement de phénomènes divers (contractions utérines, battements cardiaques, etc.).

A l'aide
d'appareils

Le **monitoring** (ou monitorage) désigne l'ensemble des techniques qui consistent à surveiller différents paramètres physiques ou biologiques à l'aide d'appareils. Le monitoring est également utilisé dans le cadre des urgences et en réanimation. Néanmoins, le monitoring

■ **MONITORING**, subst. masc.

Ensemble de techniques permettant d'analyser, de contrôler, de surveiller soit, en électronique, la qualité d'un enregistrement, soit, en médecine, les réactions physiopathologiques d'un patient. Dans le service de réanimation

Surveillance (avertir / prévenir)

Pourquoi un monitoring?

Que surveiller?

- Court terme (minutes/heures)
 - Définition de la gravité de la situation
 - Appréciation évolution situation critique
 - Appréciation qualité du ttt, de la technique utilisée
- Moyen terme (heures/jours)
 - Appréciation évolution situation
 - Appréciation évolution pathologie
- Long terme (jours/semaines/années)
 - Appréciation évolution pathologie
 - Appréciation adéquation des ttt engagés

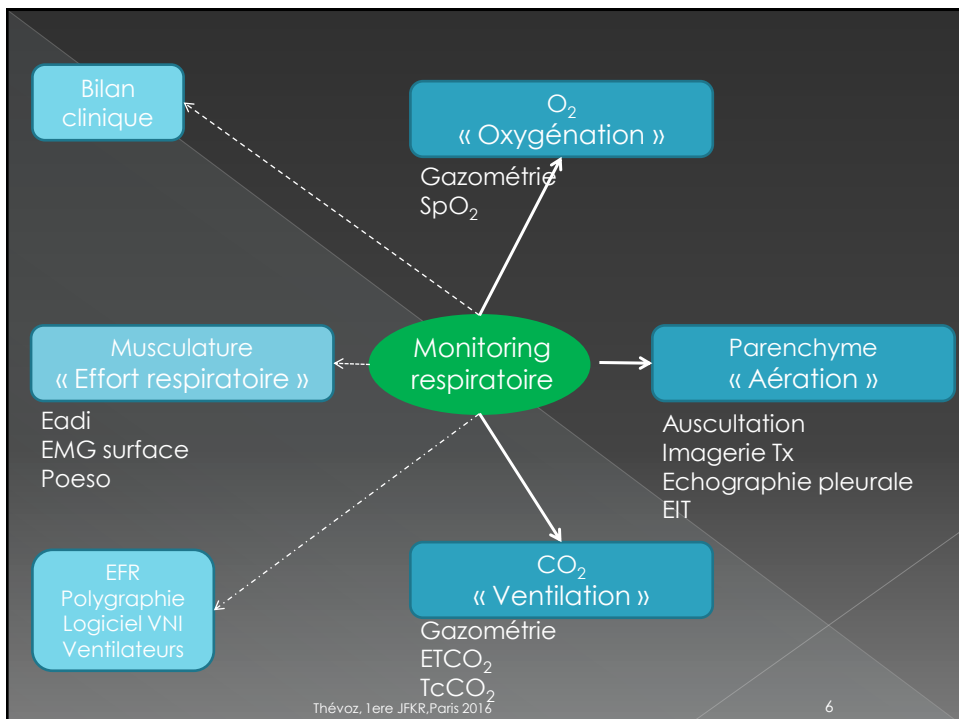
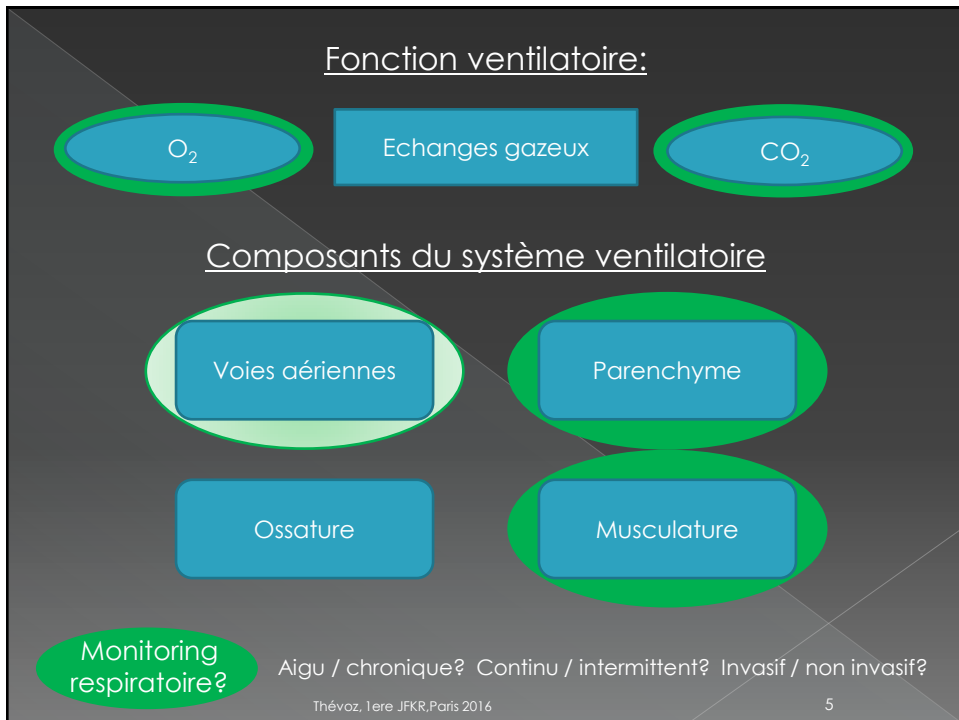
Thévoz, 1ere JFKR, Paris 2016

3



Thévoz, 1ere JFKR, Paris 2016

4



« Oxygénation »

7

Thévoz, 1ere JFKR, Paris 2016

Oxygénation
Ventilation

Gazométrie artérielle

- Analyse sanguine permettant d'évaluer la fonction respiratoire et acido-basique d'un patient, par prélèvement sanguin artériel
- Mesures
 - pH, PaCO₂, PaO₂, Bic, BE, lactates, SaO₂
- Artères habituelles
 - Radiale (Test Allen)
 - Fémorale



Thévoz, 1ere JFKR, Paris 2016

8

Oxygénation
Ventilation

Ponction directe



Ponction cathéter artériel





« Inline » analyseur

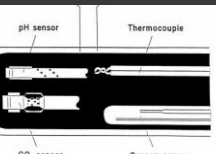


Sphere Proxima®





Intra-artériel Sensor



Paratrend®



Thévoz, 1ere JFKR, Paris 2016

9

Oxygénation
Ventilation

Limite de la technique

- Invasif
- Potentiellement douloureux
- Saignement / hématome
- Infection nosocomiale
- Thrombus

- Fiabilité (fibrine sur système intra-artériel)

Thévoz, 1ere JFKR, Paris 2016

10

Valeurs

Oxygénation	Ventilation

Artère:

- pH 7.35-7.45
- PaCO₂ 35-45 [mmHg]
- PaO₂ 70-100 [mmHg]
- Bic 22-28 [mmol/L]
- BE +2/-2 [mmol/L]
- Lact 0-2 [mmol/L]
- SaO₂ 94-100 [%]

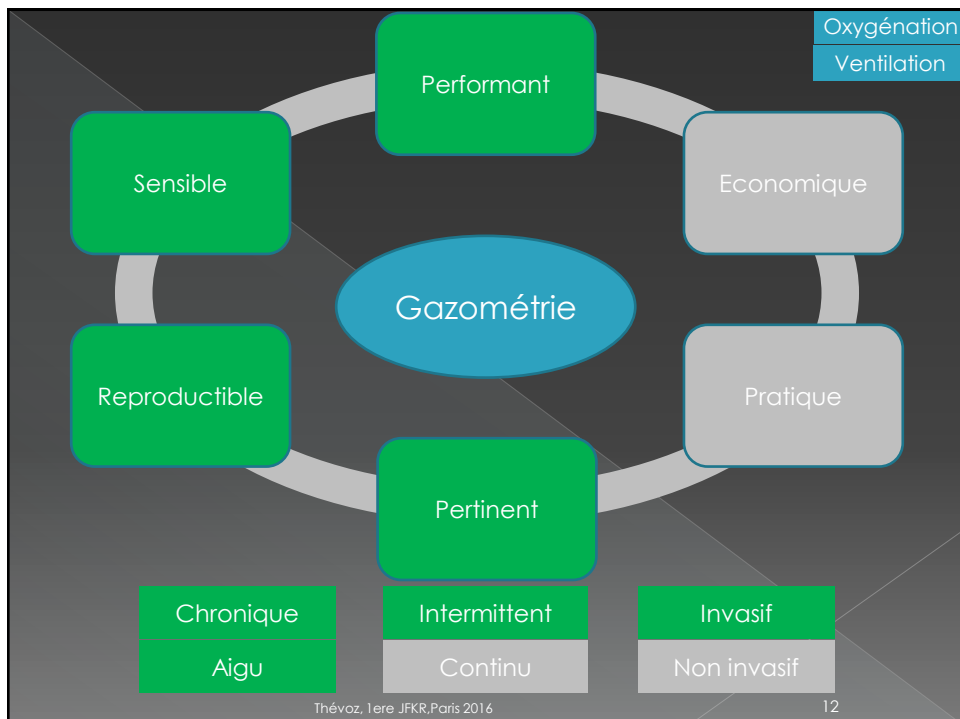
Veine - Artère:

- PvCO₂ ≈ PaCO₂
(PvCO₂ >5-6mmHg avec HD stable)
- pH veineux ≈ pH artériel
- Bic veineux ≈ Bic artériel
- PvO₂ ≠ PaO₂

Thévoz, 1ere JFKR, Paris 2016



GDS veineux:
Suivi acidose
respiratoire



Oxygénation

Saturation pulsée en O₂ [SpO₂]

- Monitorage non invasif de la saturation artérielle en oxygène (SaO₂)
- Détection précoce de l'hypoxémie

Course de dissociation de l'hémoglobine (course de Barcroft).

Relation PaO₂ et SaO₂
Thévoz, 1ere JFKR, Paris 2016

Déférence d'absorption lumineuse (rouge et infrarouge) entre l'hémoglobine oxygénée (HbO₂) et l'hémoglobine non oxygénée (Hb).

detector levels

how equipment works .com

13

Oxygénation

absorbance

Oxy Hb

650 nm Red light

800 nm

950 nm Infrared light

how equipment works .com

L'oxyhémoglobine (HbO₂) absorbe plus de lumière infrarouge que rouge.

La désoxyhémoglobine (Hb), à l'inverse, absorbe plus de lumière rouge qu'infrarouge.

absorbance

Deoxy Hb

650 nm Red light

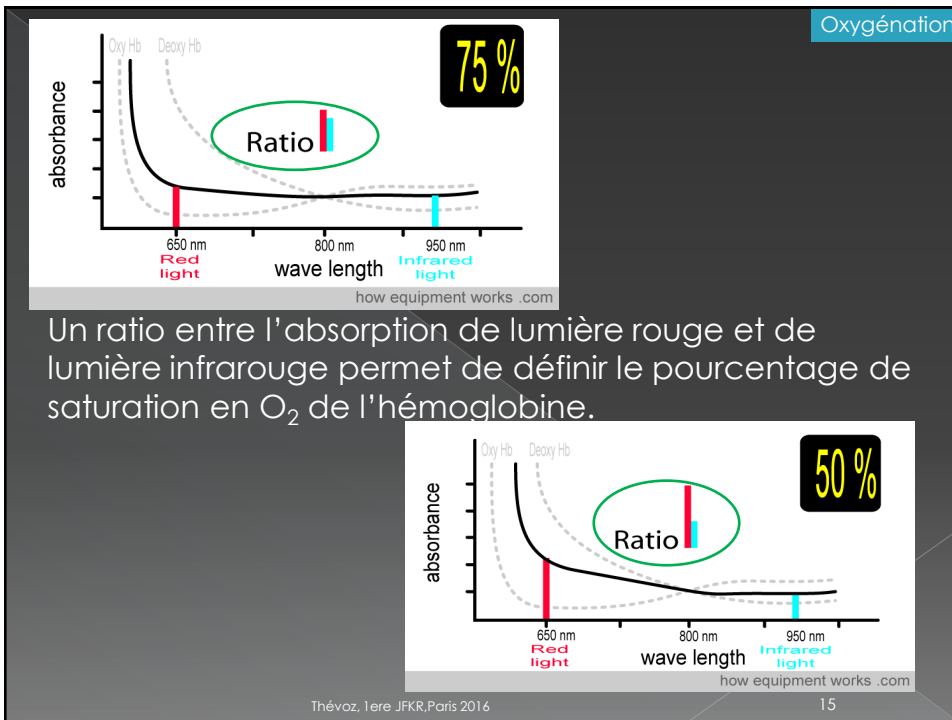
800 nm

950 nm Infrared light

how equipment works .com

Thévoz, 1ere JFKR, Paris 2016

14



Types de capteur



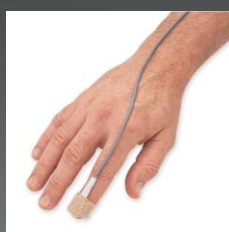
digital



Auriculaire



digital aussi...



Frontal

Oxygénation

Limitation de la technique

- Dépendant de la perfusion distale
 - > TA < 80mmHg
 - > FC <30 ou >200 batt/min
 - > Vasoconstriction (amines, hypothermie)
- Altération Hb
 - > Carboxy / méthémoglobine (SpO_2 faussement haute/basse)
 - > Thalassémie, anémie (SpO_2 haute, mais CaO_2 faible)
 - > Colorant sanguin (SpO_2 faussement basse)
 - Bleu méthylène, Vert indocyanine
- Interface
 - > Vernis ongles
 - > Cœdèmes
 - > Couleur peau
 - > Mouvements

Thévoz, 1ere JFKR, Paris 2016

17

Oxygénation

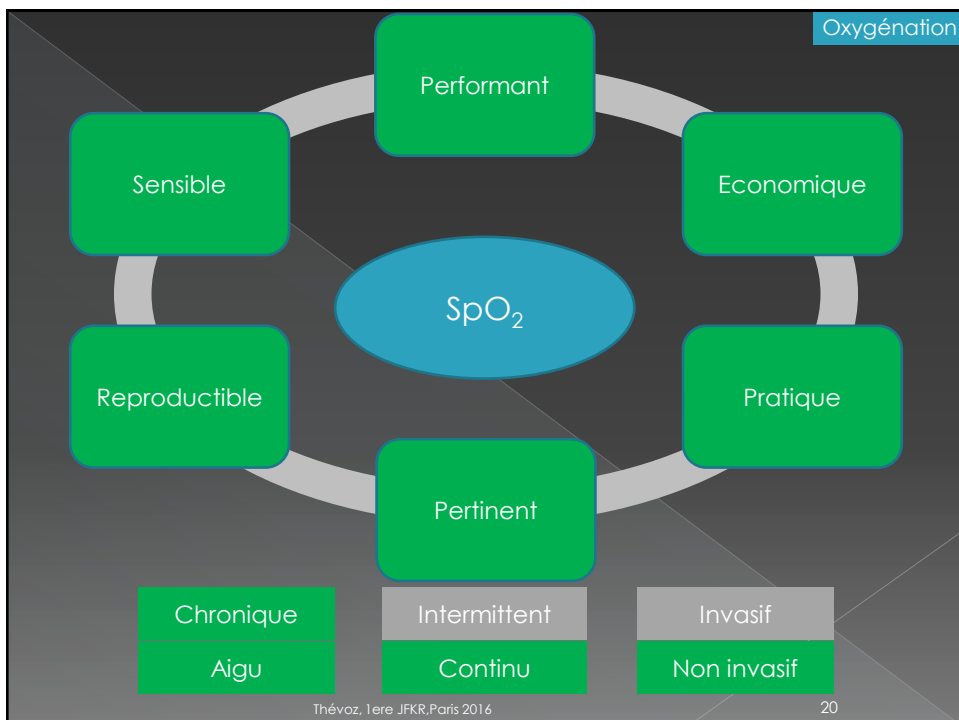
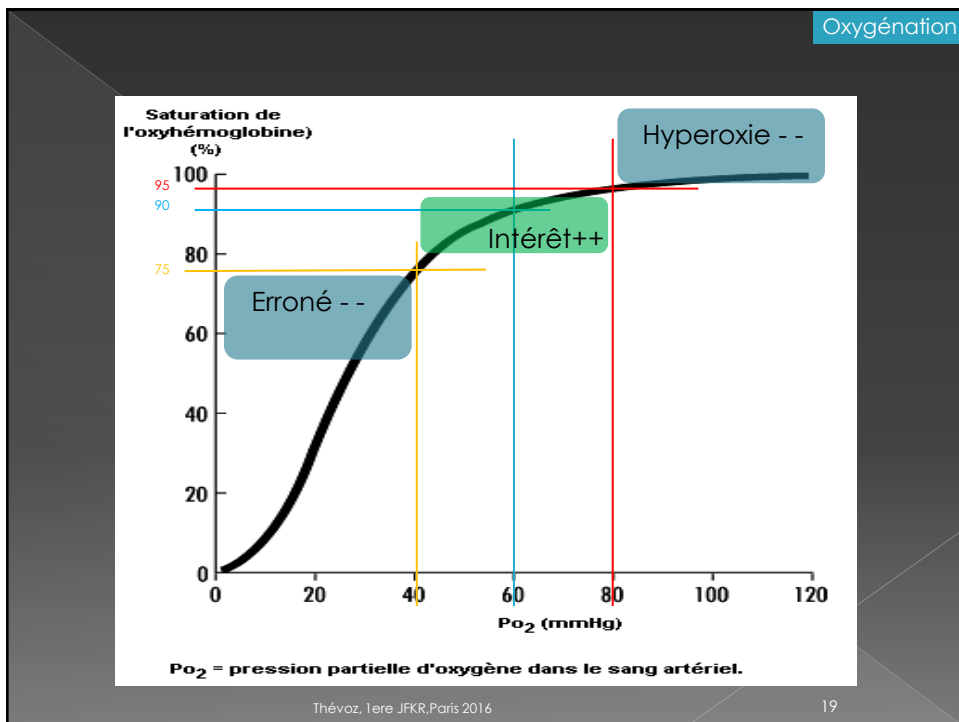
Valeurs

- Marge d'erreur
 - > 1-2% de 90 à 100% de SpO_2
 - > 4% de 75-90% de SpO_2
 - > 15% en dessous de 75% de SpO_2
 - ➔ Inadapté
- 100 % de SpO_2
 - > Inefficient pour hyperoxie (PaO_2 : 100 ou 500mmHg)

SpO₂ %	PaO₂ mmHg	Oxygenation status
95-100	80-100	Normal
91-94	60-80	Mild hypoxemia
86-90	50-60	Moderate hypoxemia

Thévoz, 1ere JFKR, Paris 2016

18



Oxygénation

O_2 transcutanée [TcO_2]

- Technique de fluorescence
 - Émission de lumière bleue, énergie absorbée par molécule d' O_2 , mesure de lumière rouge qui vient en retour
- Appréciation de la PaO_2
 - ➔ Relevance limitée chez l'adulte « resp »
 - ➔ Diabétologie/chir vasculaire:
 - Indice oxygénation distale
 - ➔ Néonatalogie/pédiatrie:
 - Intérêt pour surveillance hyperoxie



Capteur OxiVenT™:
PCO₂ | PO₂

Sentec

Thévoz, 1ere JFKR, Paris 2016

21

« Ventilation »

Thévoz, 1ere JFKR, Paris 2016

22

Ventilation

CO₂ expiré [ETCO₂]

- Capnographie permet de monitorer:

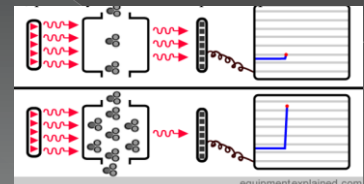
- Production de CO₂
- Perfusion pulmonaire
- Ventilation alvéolaire



- Mesure par absorption Infrarouge

- Patient intubé / patient non intubé

- Position sonde intubation
- Qualité MCE



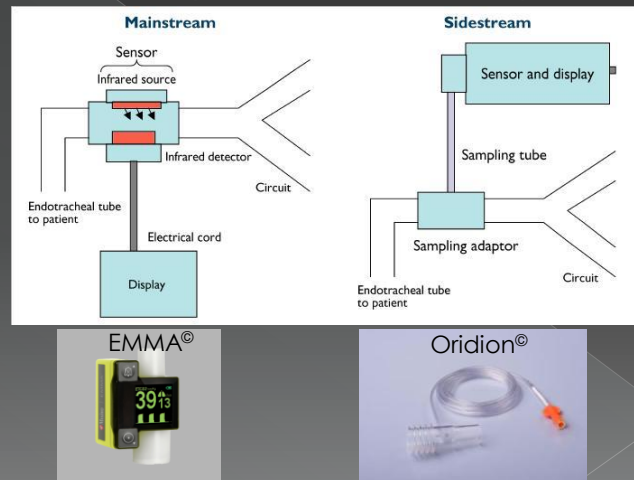
Thévoz, 1ere JFKR, Paris 2016

23

Ventilation

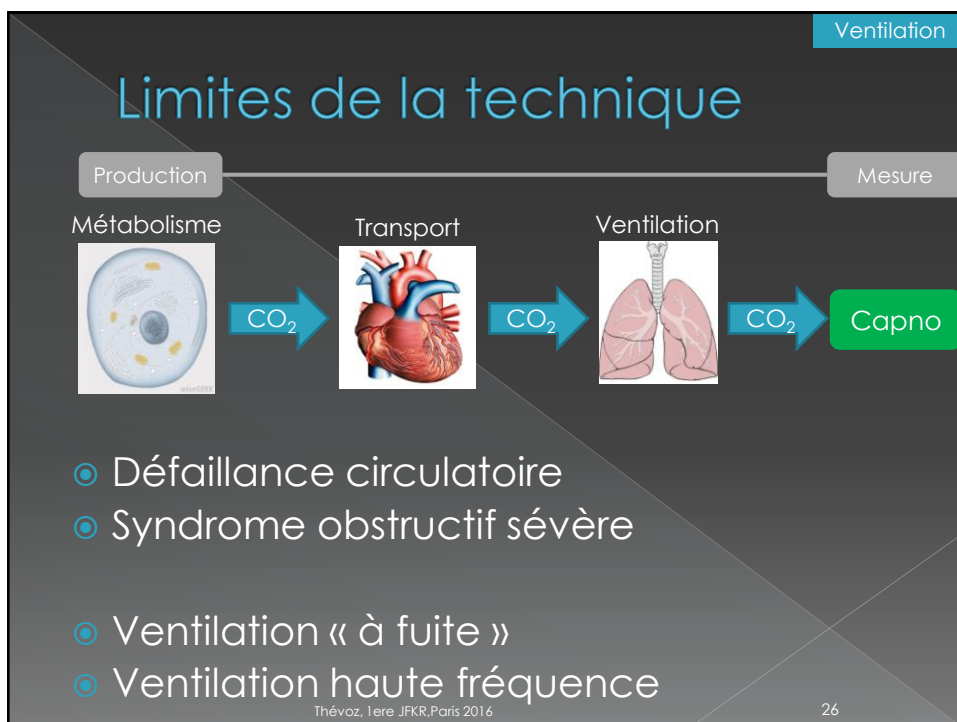
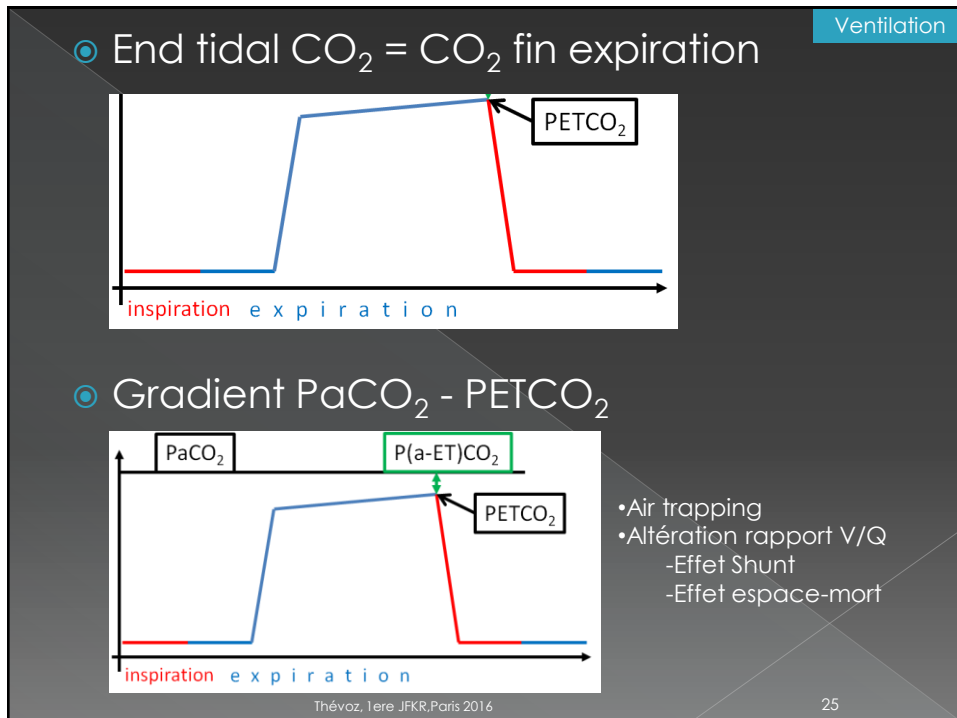
- 2 systèmes

- Mainstream (mesure dans flux)
- Sidestream (mesure hors du flux)



Thévoz, 1ere JFKR, Paris 2016

24



Ventilation

Valeurs

PETCO₂

- Zéro
 - > Intubation œsophagienne
 - > Arrêt circulatoire, MCE inefficace

Gradient PaCO₂ - PETCO₂

- 1-3 mmHg sujet sain
- Majoré++ lors pathologies pulmonaires (5-20 mmHg chez sujet obstructif)

Utilisation courbe (sans valeur numérique)

- Repérer apnée/hypoventilation
 - > Sédation en endoscopie

Thévoz, 1ere JFKR, Paris 2016

Ventilation

End-tidal carbon dioxide monitoring using a naso-buccal sensor is not appropriate to monitor capnia during non-invasive ventilation

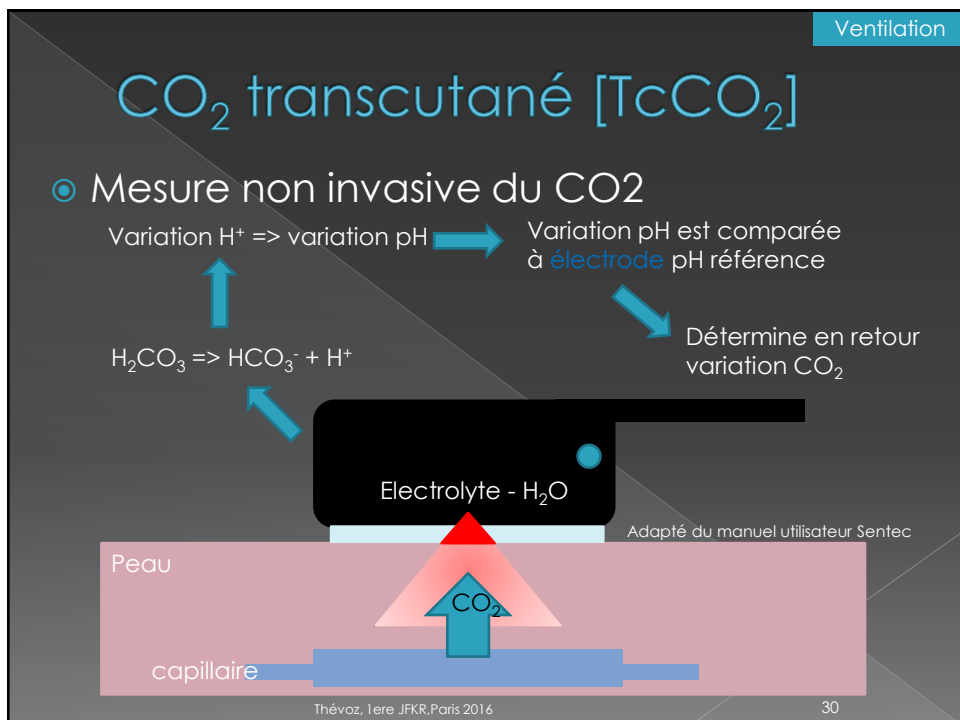
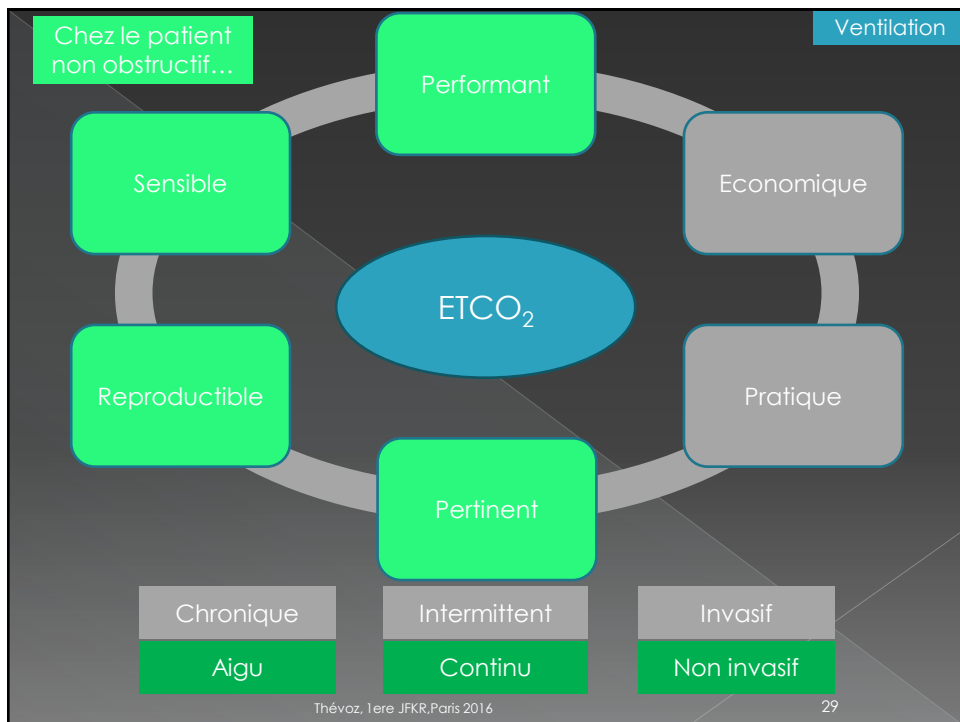
Lise Piquilloud^{1*}, David Thevoz^{1,2}, Philippe Jolliet¹ and Jean-Pierre Revelly¹ Annals of Intensive Care (2015)

Temps mesure	Gazométrie	PETCO ₂
M-5		
1	M-2 x x	
	M0	
2	M15 x x	
3	M30 x x	
		x
4	M45 x x	
5	M60 x x	
		x

Gradient PaCO₂/PETCO₂

Chez les patients présentant une insuffisance respiratoire aiguë hypercapnique traitée par ventilation non invasive, la mesure du CO₂ expiré par un capteur **nasobuccal** ne permet de prédire ni la valeur de PaCO₂ ni son évolution dans le temps.

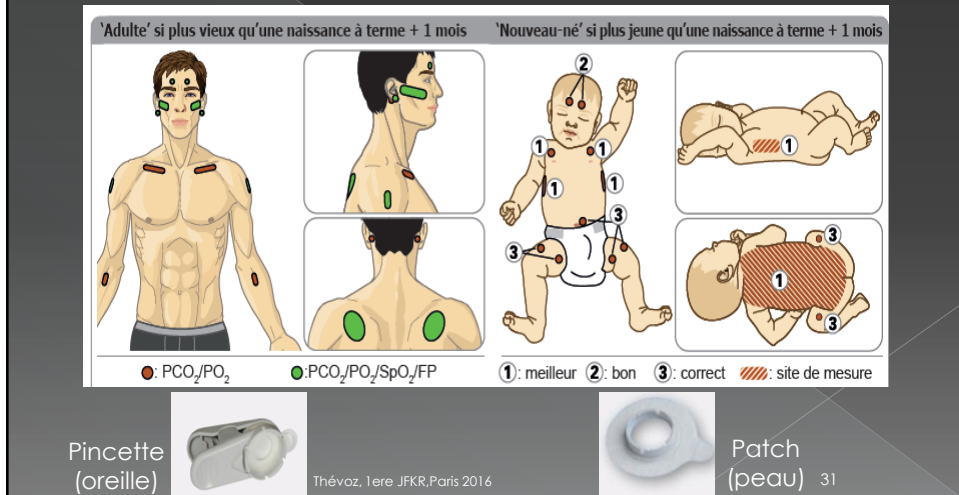
Thevoz, 1ere JFKR, Paris 2



Ventilation

Zones application capteur

- Les endroits optimaux de mesures TC sont ceux présentant une bonne perfusion cutanée



Ventilation

Limites de la technique

- Perte de signal (traction sensor, gel contact)
- Recalibration régulière
- Œdèmes
- Epaisseur de peau (lobe de l'oreille)
- Défauts cutanés, pilosité, graisse
- Problèmes dermatologiques
- Lésions thermiques (42-45°C, déplacer capteur)

Ventilation

Valeurs

- $T_cCO_2 = 0,81 \times PaCO_2 + 10,86$
- $T_cCO_2 > PaCO_2$ ($43^\circ C$, majore CO₂ local)
- Intérêt trend > valeur absolue

Thévoz, 1ere JFKR, Paris 2016

33

Ventilation

Relationship between transcutaneous CO₂ measurement and PaCO₂ during non invasive ventilation delivered in hypercapnic acute respiratory failure Unpublished data

D.Thévoz¹, J-P. Revelly², P. Jollivet², L. Piquilloud²

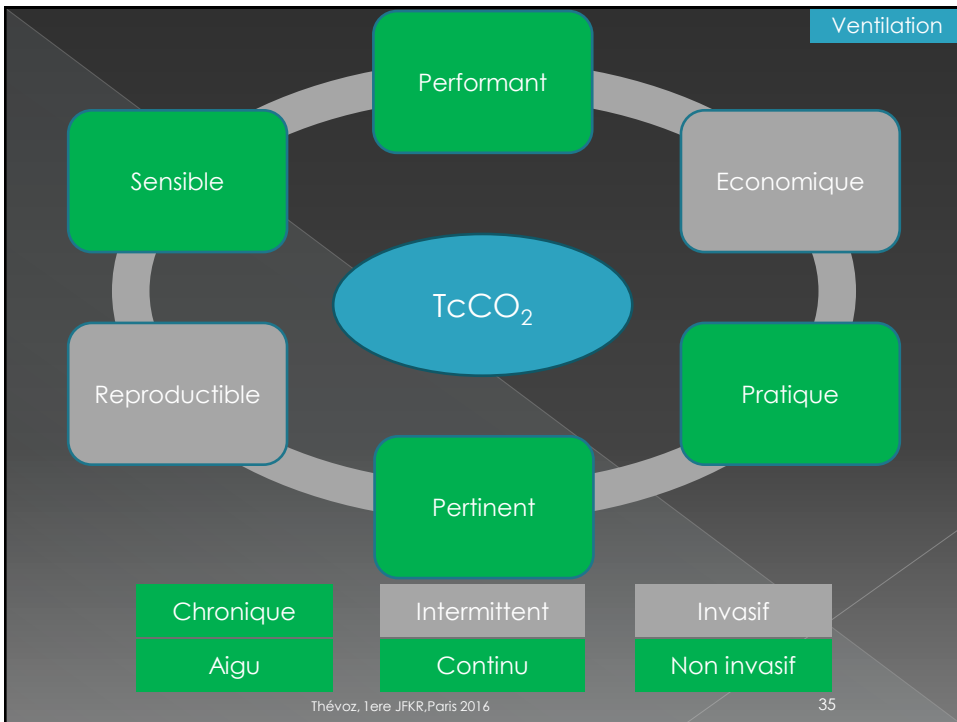
Sentec Digital Monitoring System V-sign Captor V60 Philips

Time	T _p CO ₂	Blood gas
M-15	Device installation	
M0	X	X
	Initiation of NIV	
M30	X	X
M45	X	X
M60	X	X

Scatter plot showing the relationship between T_pCO_2 (mmHg) on the y-axis and $PaCO_2$ (mmHg) on the x-axis. The plot includes a regression line equation $y = 0.9764x + 2.7011$, $R^2 = 0.84$, and $ICC = 0.91$.

Bland-Altman plot comparing T_pCO_2 and $PaCO_2$ measurements. The y-axis represents the difference in mmHg, and the x-axis represents the mean of $PaCO_2$ and T_pCO_2 in mmHg. The plot shows data points with various symbols and a horizontal line for the mean difference at -1.4 mmHg.

In a small group of patients undergoing NIV for acute hypercapnic respiratory failure the agreement between T_pCO_2 and $PaCO_2$ was very good and suggests that CO₂ transcutaneous measurement could be of interest to evaluate the course of PaCO₂ during NIV



Aération

Auscultation pulmonaire

- Perception auditive des ondes sonores produites par le passage de l'air dans les voies aériennes supérieures et l'arbre trachéo-bronchique au cours de l'inspiration et de l'expiration.
- Ces vibrations sont propagées à la paroi thoracique par le parenchyme pulmonaire

Thévoz, 1ere JFKR, Paris 2016

37

Aération

Bruit respiratoire

Normal

Anormal

Trachéal
Trachéo-bronchique
Vésiculaire

Abolition, diminution
« délocalisé »
(Souffle)

Bruit adventice

Continu 125<250ms

Discontinu 5<20ms

Sibilances:

Monophoniques
Polyphoniques (Rhonchi)

Craquements:

BF: Gros Crépitants (Râles bulleux)
MF: Crépitants
HF: Crépitants fins (Sous crépitants)

Thévoz, 1ere JFKR, Paris 2016

38

Aération

Hier

Avant-hier



Auscultation immédiate



Auscultation médiate

Aujourd'hui

Iphone Stetho



Disposable sensor pads



Real time monitoring

DigiBreathe

Thévoz, 1ere JFKR, Paris 2016

39

Aération

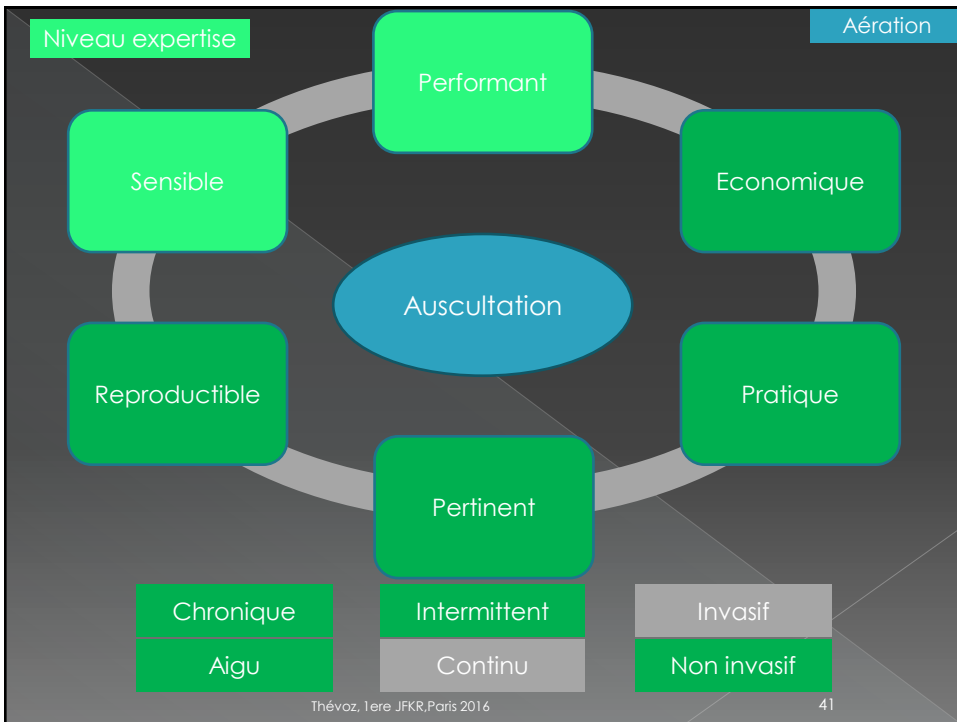
Limites de la technique

○ Erreur de pratique

- > Patient
 - Position
 - Qualité I et E
 - Habits, poils
 - Equipements bruyants (drain, LVAD,...)
- > Soignant
 - Niveau expertise
 - Multiples nomenclatures...

Thévoz, 1ere JFKR, Paris 2016

40



Auscultation

Imagerie thoracique

Aération

Offre une vision anatomique du thorax et a pris une place majeure dans l'arsenal diagnostique des pathologies pulmonaires

- ◎ Rx
 - > Utilisation très régulière, de routine
 - > Non invasive, « aisée »
 - > Dose réduite de rayons X
 - > Incidence multiple (face, profil, I ou E)
 - > Renseigne:
 - extra-thoracique
 - contenant / contenu

Thévoz, 1ere JFKR, Paris 2016

42

Aération

- Tomodensitométrie (scanner)
 - > Non invasive, dose majorée rayons X
 - > Moins « aisément »
 - > Coupe fine, plan axial
 - > Reconstruction 3D
 - > Injection de contraste possible

- Résonnance magnétique (IRM)
 - > Non invasive, non irradiante (aimant)
 - > Moins « aisément »
 - > Reconstruction 3D
 - > Incompatible avec implants métalliques
(prothèse, valves cardiaques, Swan-Ganz, PM,...)

Thévoz, 1ere JFKR, Paris 2016

43

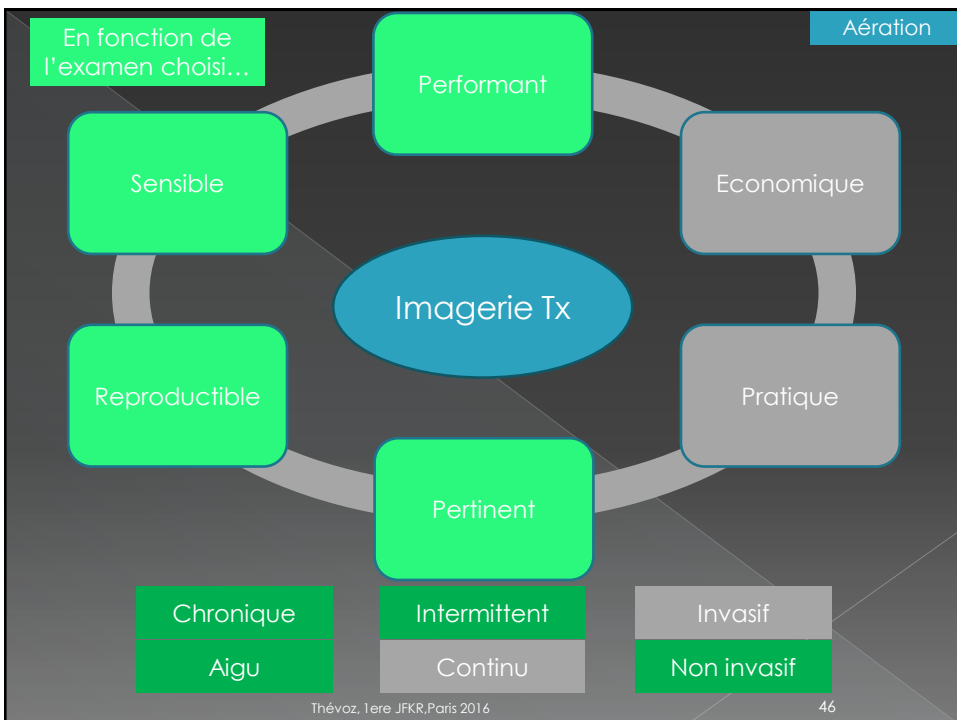
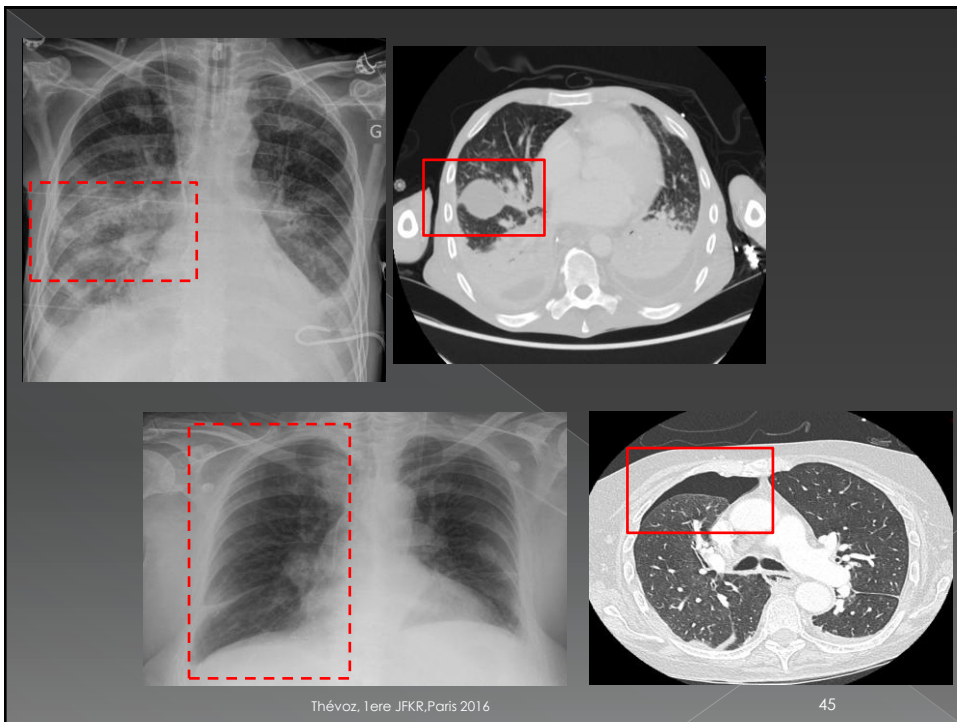
Aération

Limites de la technique

- Variabilité
 - > Réalisation
 - > Lecture
- Irradiation
(Rx: 0.01 mSv, Scan: 5mSv)
- Performance
 - > Dépendante de l'atteinte
(PNO, Ca, PMN,...)
 - > Scanner > Rx

Thévoz, 1ere JFKR, Paris 2016

44



Aération

Echographie pulmonaire

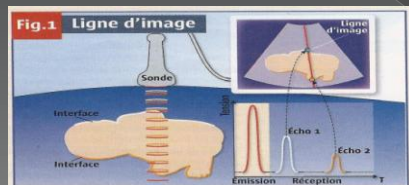
- Image ultrasonographique (pas de rayons)
- Analyse des « artefacts »
- Détermination d'entité clinique
 - > Poumon sain
 - > Épanchement pleural
 - > Syndrome interstitiel
 - > Consolidation alvéolaire
 - > Pneumothorax
- LUS = Scanner > radiographie thorax

Thévoz, 1ere JFKR, Paris 2016

47

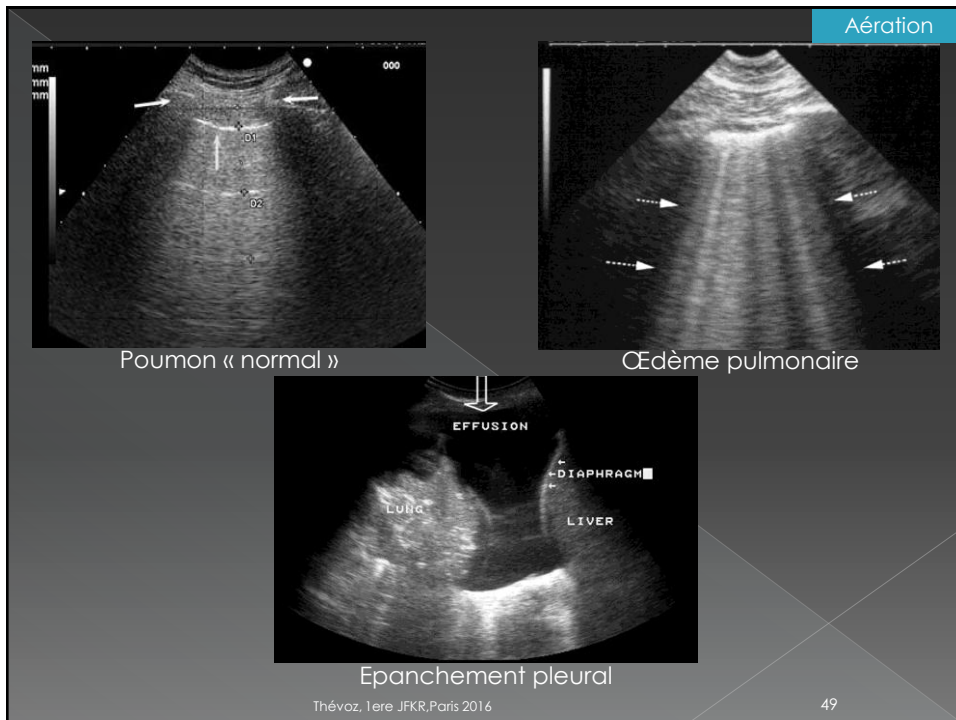
Aération

- Emission d'ultrasons dans le corps et récupération après « rebonds » sur les tissus.
- Différence d'absorption:
 - > Eau absorbe ++ → noir « anéchogène »
 - > Os absorbe -- → blanc « hyperéchogène »
- « Distance » à la sonde
 - > Plus la structure réfléchissante est loin, plus le temps de « trajet A/R » est long, donc l'image sera loin de la surface de la sonde.



Thévoz, 1ere JFKR, Paris 2016

48



Aération

Limites de la technique

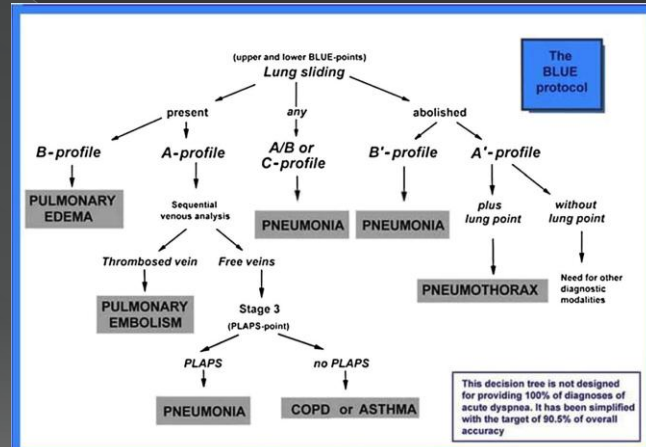
- Intégrité surface cutanée
 - > Plaie
 - > Pansements
- Emphysème ss-cutané
- Nécessite entraînement
 - > ≈ 50-100 examens de LUS
- Matériel +/- imposant
- ≠ Stétho moderne...

Thévoz, 1ere JFKR, Paris 2016

50

Aération

Blue Protocol

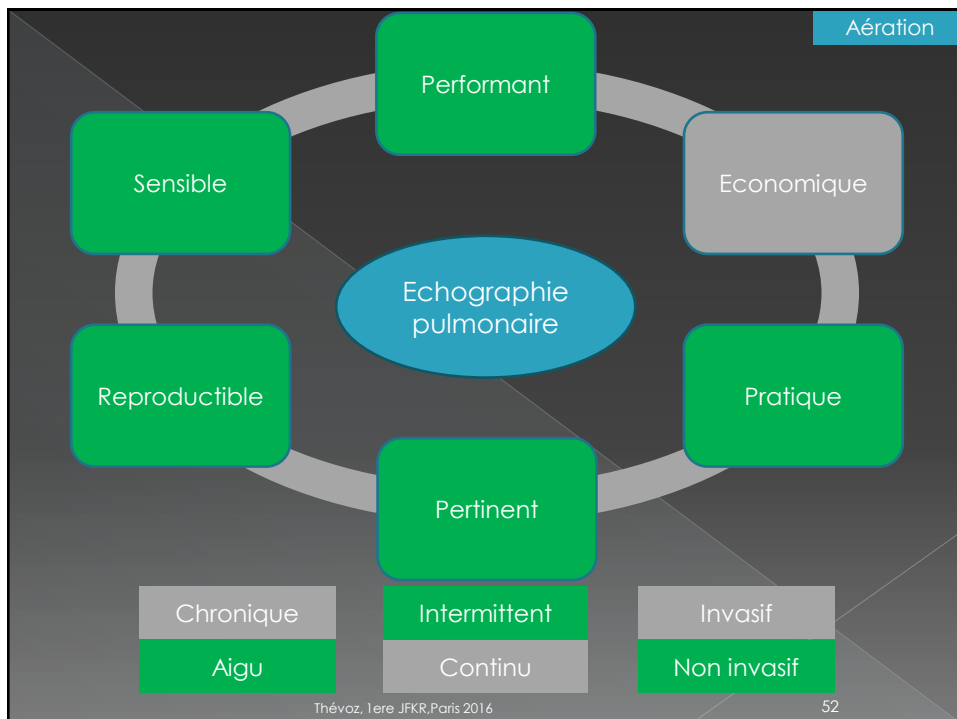


c'est une analyse échographique standardisée et imaginée pour un **diagnostic rapide de 97% des pathologies pulmonaires** chez les patients se présentant aux urgences avec une détresse respiratoire aigue

Thévoz, 1ere JFKR, Paris 2016

51

Aération



52

Aération

Table 1. Sensitivity and Specificity of Auscultation, Chest Radiography, and Lung Ultrasonography for Diagnosing Pleural Effusion, Alveolar Consolidation, and Alveolar-Interstitial Syndrome in 384 Lung Regions in 32 Critically Ill Patients with ARDS

	Auscultation, %	Chest Radiography, %	Lung Ultrasonography, %
Pleural effusion			
Sensitivity	42	39	92
Specificity	90	85	93
Diagnostic	61	47	93
accuracy			
Alveolar			
consolidation			
Sensitivity	8	68	93
Specificity	100	95	100
Diagnostic	36	75	97
accuracy			
Alveolar-interstitial			
syndrome			
Sensitivity	34	60	98
Specificity	90	100	88
Diagnostic	55	72	95
accuracy			

D'après : Comparative diagnostic performances of auscultation, chest radiography, and lung ultrasonography in acute respiratory distress syndrome. D Lichtenstein et al. Anesthesiology 2004
100 ; 1 ; 9-15

Thévoz, 1ere JFKR, Paris 2016

53

Aération

Tomographie par impédance électrique [TIE]

- Evaluation de la distribution de la ventilation dans les différentes régions pulmonaires
- Non invasif, ceinture d'électrodes (16-32pces)
- Information sur variation de volumes d'air
 - > Atélectasie
 - > Sur-distension
 - > Epanchement / Pneumothorax
- Appréciation?
 - > Manœuvre de recrutement, titration Peep
 - > Désencombrement
 - > Mobilisation DL/DV

Thévoz, 1ere JFKR, Paris 2016

54

Aération

- Ceinture d'électrodes (2 électrodes source, les autres réceptrices) générant un faible courant traversant les tissus du thorax.

○ En fonction de l'impédance (résistance), plutôt variation d'impédance, des tissus, une image est reconstruite.

○ Importante variation d'impédance (variation importante du volume d'air)
→ la région « s'allume »

○ Si peu/pas de changement « d'aération », alors la zone reste « noire »

Thévoz, 1ere JFKR, Paris 2016

55

Aération

Swisstom (Maquet) 	Pulmovista (Dräger)

Thévoz, 1ere JFKR, Paris 2016

56

Aération

Limites de la technique

- Matériel et coût
- Intégrité cutanée (pansements)
- Matériel prothétique (PM, cerclage)
- Position ceinture (5cm de largeur)

- Analyse/fiabilité des informations?
 - > Image
 - > Valeurs

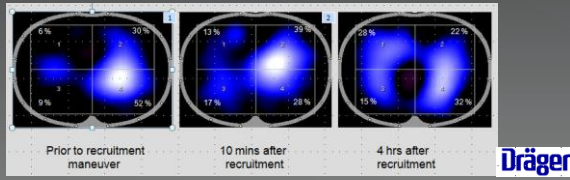
Thévoz, 1ere JFKR, Paris 2016

57

Aération

Valeurs

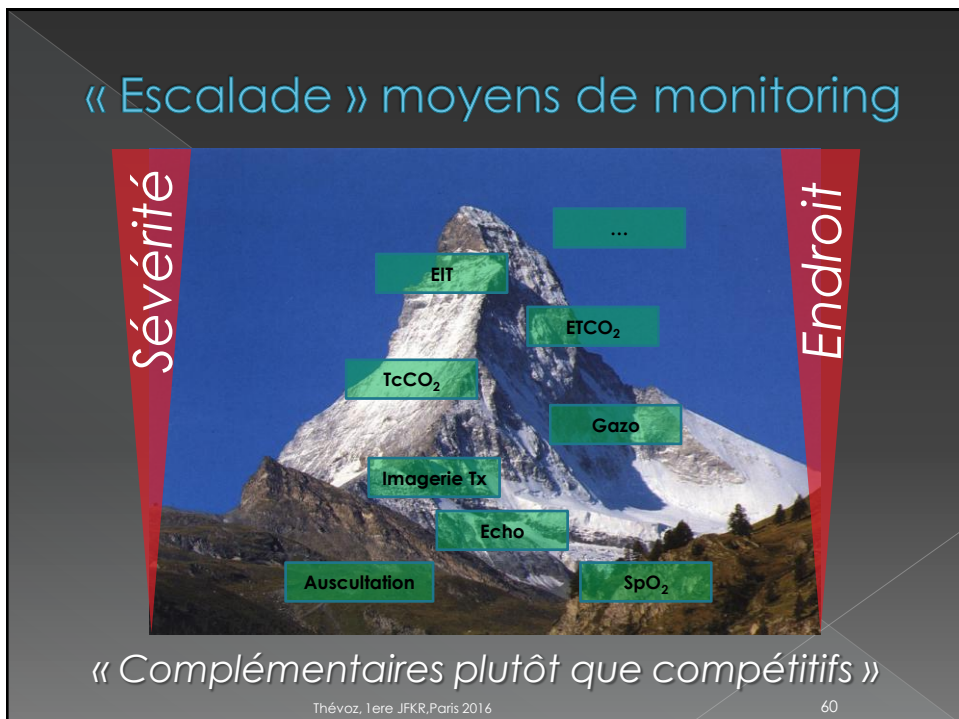
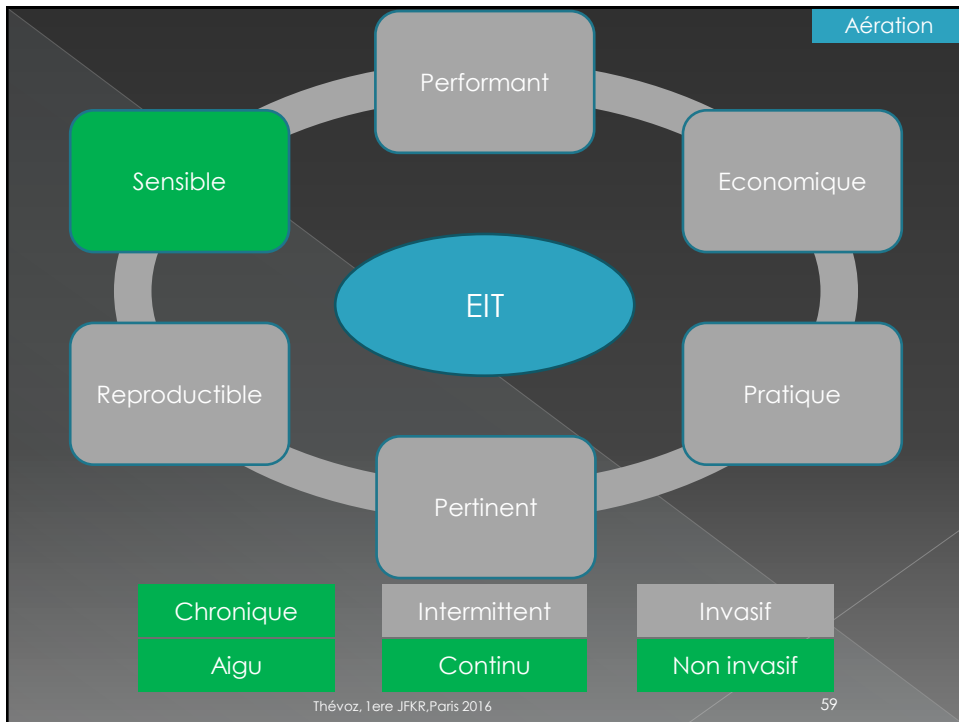
- Lieu distribution
 - > A/P
 - > G/D
- EELV (End-expiratory lung volume)
 - > Recrutement avant-après



Thévoz, 1ere JFKR, Paris 2016

Dräger

58



Conclusion

Pour choisir un bon moyen de monitoring

○ Importance de définir:

- › Lieu de prise en charge
 - Réanimation
 - Ambulatoire
 - Domicile
- › Gravité de la situation
 - Aigu
 - Chronique

Thévoz, 1ere JFKR, Paris 2016

61

- › Pertinence de l'outil
 - Intérêt, plus-value clinique
 - Coût
 - « Transportabilité »
 - Fiabilité
 - Continu / discontinu
 - Invasif / non invasif

➔ Comme en cuisine, bien identifier le client (**patient**), définir ce qu'on veut lui servir (**paramètres étudiés**) et choisir les bons ingrédients (**choix appareil**)!

➔ Les chiffres, les dispositifs médicaux... Ne pas omettre l'appréciation clinique!

Thévoz, 1ere JFKR, Paris 2016

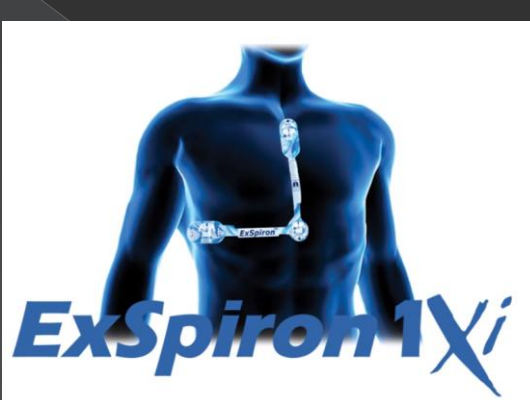
62

Systèmes de demain...

63

Monitorage non invasif de la
Ventilation minute [VM]

Thévoz, 1ere JFKR, Paris 2016



Minute Ventilation = Tidal Volume x Respiratory Rate



Minute Ventilation (MV)



Tidal Volume (TV)



Respiratory Rate (RR)



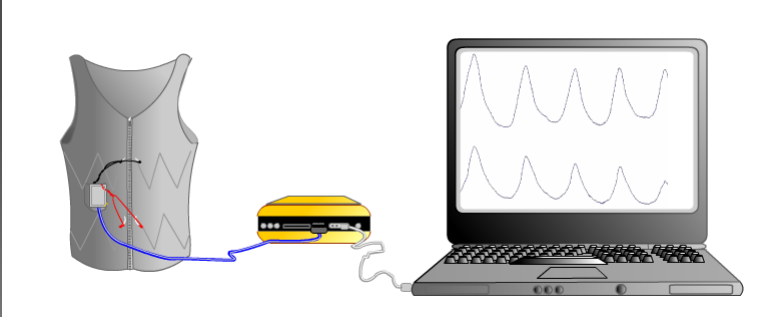
Thévoz, 1ere JFKR, Paris 2016

64



VISURESP

Mesure de la ventilation minute



Thévoz, 1ere JFKR, Paris 2016

65

RRa® 
Noninvasive Acoustic Respiration Rate




Monitoring FR



Acoustic Signal

Monitoring « bruits » filière ORL

Thévoz, 1ere JFKR, Paris 2016

66



LONG TERM MEDICAL SURVEY SYSTEM



- ECG
- Respiration rate
- Pulse oximetry (SpO₂, HR)
- Blood pressure
- Body core temperature
- Activity and posture
- Weight and body composition

Thévoz, 1ere JFKR, Paris 2016

67

Monitoring helvétique de bonne santé...

« Quand eux vont bien, les Suisses vont bien »



Merci pour votre attention

Thévoz, 1ere JFKR, Paris 2016

David.Thevoz@chuv.ch

Bibliographie

1. <AAAC clinical practice guideline_transcutaneous monitoring of carbon dioxide and oxygen_2012_Restrepo.pdf>.
2. <Pulmonary stethacoustic nomenclature_Why not a worldwide consensus_Postiaux.pdf>.
3. <Lung ultrasound for the diagnosis of pneumonia in adults a systematic review and meta-analysis_Chavez.pdf>.
4. Basaranoglu G, Bakan M, Umutoglu T, Zengin SU, Idin K, Salihoglu Z. Comparison of SpO₂ values from different fingers of the hands. Springerplus. 2015;4:561.
5. Bodenstein M, David M, Markstaller K. Principles of electrical impedance tomography and its clinical application. Crit Care Med. 2009;37(2):713-24.
6. Chan ED, Chan MM, Chan MM. Pulse oximetry: understanding its basic principles facilitates appreciation of its limitations. Respir Med. 2013;107(6):789-99.
7. Costa ELV, Lima RG, Amato MBP. Electrical impedance tomography. Current Opinion in Critical Care. 2009;15(1):18-24.
8. DeMeulenaeire S. Pulse Oximetry: Uses and Limitations. The Journal for Nurse Practitioners. 2007;3(5):312-7.
9. Dexheimer Neto FL, Andrade JM, Raupp AC, Townsend Rda S, Beltrami FG, Brisson H, et al. Diagnostic accuracy of the Bedside Lung Ultrasound in Emergency protocol for the diagnosis of acute respiratory failure in spontaneously breathing patients. J Bras Pneumol. 2015;41(1):58-64.
10. Huttmann SE, Windisch W, Stoore JH. Techniques for the measurement and monitoring of carbon dioxide in the blood. Ann Am Thorac Soc. 2014;11(4):645-52.
11. Karsten J, Stueber T, Voigt N, Teschner E, Heinze H. Influence of different electrode belt positions on electrical impedance tomography imaging of regional ventilation: a prospective observational study. Crit Care. 2016;20:3.
12. Leech M, Bissett B, Kot M, Ntoumenopoulos G. Physiotherapist-initiated lung ultrasound to improve intensive care management of a deteriorating patient and prevent intubation: a case report. Physiother Theory Pract. 2015;31(5):372-6.
13. Lermuzeaux M, Meric H, Sauneuf B, Girard S, Normand H, Lofaso F, et al. Superiority of transcutaneous CO₂ over end-tidal CO₂ measurement for monitoring respiratory failure in nonintubated patients: A pilot study. J Crit Care. 2016;31(1):150-6.
14. Lichtenstein D. Lung ultrasound in the critically ill. Curr Opin Crit Care. 2014;20(3):315-22.

Thévoz, 1ere JFKR, Paris 2016

69

15. Lichtenstein D, van Hooland S, Elbers P, Malbrain ML. Ten good reasons to practice ultrasound in critical care. Anaesthesiol Intensive Ther. 2014;46(5):323-35.
16. Lichtenstein DA. BLUE-protocol and FALLS-protocol: two applications of lung ultrasound in the critically ill. Chest. 2015;147(6):1659-70.
17. Lichtenstein DA, Meziere GA. Relevance of lung ultrasound in the diagnosis of acute respiratory failure: the BLUE protocol. Chest. 2008;134(1):117-25.
18. Lundin S, Sterngard O. Electrical impedance tomography: potentials and pitfalls. Curr Opin Crit Care. 2012;18(1):35-41.
19. Muders T, Luepschen H, Putensen C. Impedance tomography as a new monitoring technique. Curr Opin Crit Care. 2010;16(3):269-75.
20. Nassar BS, Schmidt GA. Capnography During Critical Illness. Chest. 2016;149(2):576-85.
21. Peris A, Tutino L, Zagli G, Batacchi S, Cianchi G, Spina R, et al. The use of point-of-care bedside lung ultrasound significantly reduces the number of radiographs and computed tomography scans in critically ill patients. Anesth Analg. 2010;111(3):687-92.
22. Pesenti A, Musch G, Lichtenstein D, Mojoli F, Amato MB, Cimella G, et al. Imaging in acute respiratory distress syndrome. Intensive Care Med. 2016;42(5):686-98.
23. Ruiz Y, Farrero E, Cordoba A, Gonzalez N, Dorca J, Prats E. Transcutaneous Carbon Dioxide Monitoring in Subjects With Acute Respiratory Failure and Severe Hypercapnia. Respir Care. 2016;61(4):428-33.
24. Sarkar M, Madabhavi I, Nirajan N, Dogra M. Auscultation of the respiratory system. Ann Thorac Med. 2015;10(3):158-68.
25. Spelten O, Fiedler F, Schier R, Wetsch WA, Hinkelbein J. Transcutaneous PICCO measurement in combination with arterial blood gas analysis provides superior accuracy and reliability in ICU patients. J Clin Monit Comput. 2015.
26. Sieglitz S, Matthes S, Priegnitz C, Hagemeyer L, Randerath W. Comparison of Transcutaneous and Capillary Measurement of PCO₂ in Hypercapnic Subjects. Respir Care. 2016;61(1):98-105.
27. van Oppen JD, Daniel PS, Sovani MP. What is the potential role of transcutaneous carbon dioxide in guiding acute noninvasive ventilation? Respir Care. 2015;60(4):484-91.
28. Walsh BK, Crotwell DN, Restrepo RD. Capnography/Capnometry during mechanical ventilation: 2011. Respir Care. 2011;56(4):503-9.
29. Xirouchaki N, Magkanas E, Vaporidi K, Kondili E, Platakaki M, Patrianakos A, et al. Lung ultrasound in critically ill patients: comparison with bedside chest radiography. Intensive Care Med. 2011;37(9):1488-93.
30. Jabre P, Combes X, Adnet F. Place de la surveillance de la capnographie dans les détresses respiratoires aigues. Réanimation 2010, 19, 633-639.

Thévoz, 1ere JFKR, Paris 2016

70